

20190328---基于C语言的数字滤波器实现

笔记本: gxm_blaze的笔记本

创建时间: 2019/3/28 0:19

更新时间: 2019/5/28 13:56

作者: 晓明

URL: <https://baike.baidu.com/item/%E4%BA%8C%E9%98%B6%E5%B8%A6%E9%80...>

1. 传统滤波器分为低通, 高通, 带通, 带阻四种滤波器, 他们有统一的S函数形态

$$G(s) = \frac{p_2 * s^2 + p_1 * s + p_0}{s^2 + e_1 * s + e_0}, \quad \text{或者以角频率表示,} \quad G(s) = \frac{p_2 * s^2 + p_1 * s + p_0}{s^2 + \frac{\omega_0}{Q} * s + \omega_0^2},$$

2. 上面的式子中, p_2 和 p_1 决定滤波器类型

$$G(s) = \frac{p_0}{s^2 + \frac{\omega_0}{Q} * s + \omega_0^2}, \quad \text{其衰减为} \quad \frac{Q^2}{Q^2}$$

4. 双二阶低通滤波器为:

$$A(\Omega) = G(j * \omega) * G(-j * \omega) = \frac{s^2}{(\Omega^4 * Q^2 - 2 * \Omega^2 * Q^2 + \Omega^2 + Q^2)}$$

5. 双二阶高通滤波器为:

$$A(\Omega) = \frac{-Q^2 * \Omega^4}{(\Omega^4 * Q^2 - 2 * \Omega^2 * Q^2 + \Omega^2 + Q^2)}$$

6. Dotx上代码的实现上, 也是基本如此, 统一的分母形式, 改变 p_2 , p_1 可以得到不同类型的滤波器

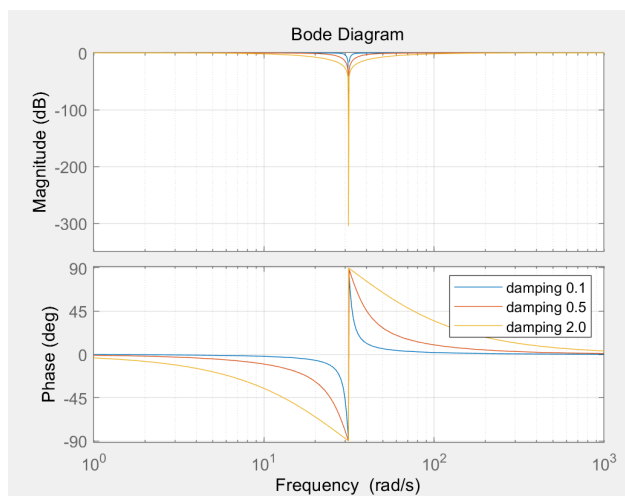
1. Notch Filter: `filter_setTf_sca(filt, R_(1.0), R_(0.0), freq*freq, R_(1.0), damp*freq, freq*freq, Ts, freq)`

2. Notch Filter: `filter_setTf_sca(filt, R_(1.0), R_(0.0), freq*freq, fac, damp*freq, freq*freq, Ts, freq)`

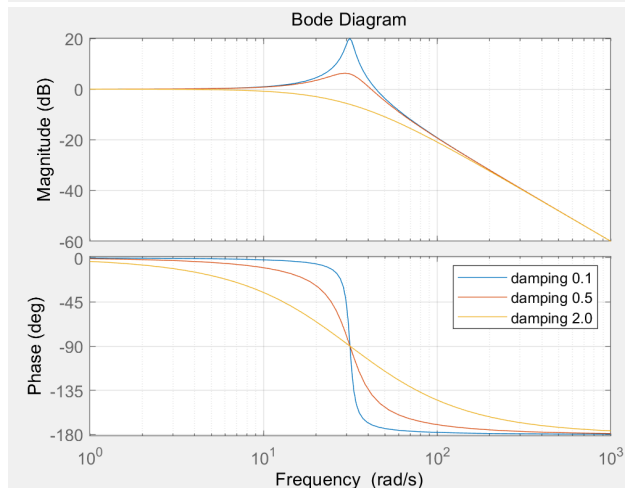
3. LowPass Filter: `filter_setTf_sca(filt, R_(0.0), R_(0.0), freq*freq, R_(1.0), damp*freq, freq*freq, Ts, FILTER_NOPREWRAP)`

4. HighPass Filter: `filter_setTf_sca(filt, R_(1.0), R_(0.0), R_(0.0), R_(1.0), damp*freq, freq*freq, Ts, FILTER_NOPREWRAP)`

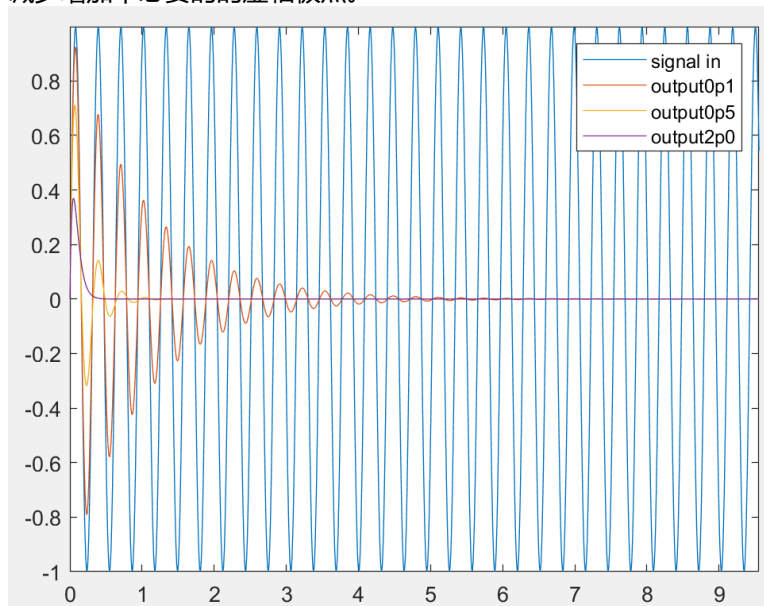
7. 公式中的R就是 $1/Q$, 也可直接叫做阻尼系数, 相同的中心频率下, R表示的是带宽或者通带升降的速度



8.



9. 从时间尺度上来看，阻尼系数R的作用就是当信号输入发生阶跃后，滤波器自身需要稳定的时间。低的阻尼系数可以带来较为窄的选择性，但是，需要信号自身足够稳定和缓变才可以使用，个人感觉，对于大部分控制用途的滤波器，阻尼系数应该尽可能设定在1.0以上，减少增加不必要的虚轴极点。



10.

11. 因此对这些二阶滤波器进行S域到Z域的变换就可以得到控制器所需的离散滤波器

$$z = e^{sT} = \frac{e^{sT/2}}{e^{-sT/2}} \approx \frac{1 + sT/2}{1 - sT/2}$$

12. Z到S用的是是一次展开，

$$\Omega = \frac{2}{T} \tan\left(\frac{\omega}{2}\right) \quad \omega = 2 \arctan\left(\frac{\Omega T}{2}\right)$$

13. S到Z用的是线性映射
拉方程 $\cos x = (e^{jx} + e^{-jx})/2$, $\sin x = (e^{jx} - e^{-jx})/2j$, 采用欧

$$s = c \bullet th\left(\frac{s_1 T}{2}\right) = c \frac{1 - e^{-s_1 T}}{1 + e^{-s_1 T}}$$

14. 将这个变换由虚轴延伸到整个复平面

$$\sinh(x) = \frac{e^x - e^{-x}}{2}, \quad \cosh(x) = \frac{e^x + e^{-x}}{2}$$

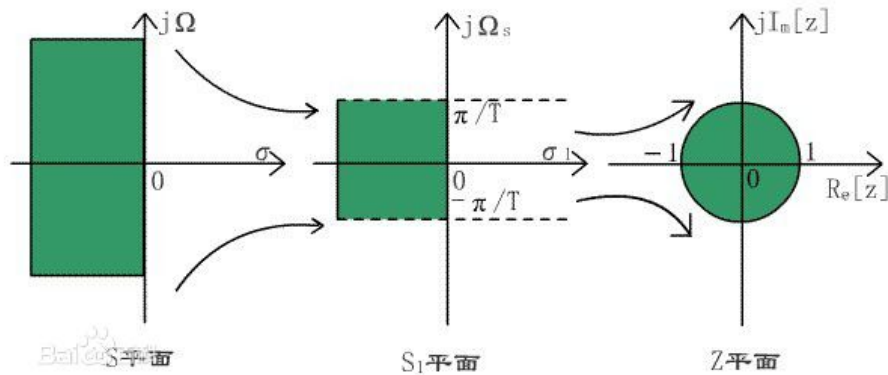
15. 考虑使用欧拉方程,

$$\tanh(x) = \frac{\sinh x}{\cosh x}, \quad \cosh^2 x - \sinh^2 x = 1$$

16. 最终可以得到S到Z的变换

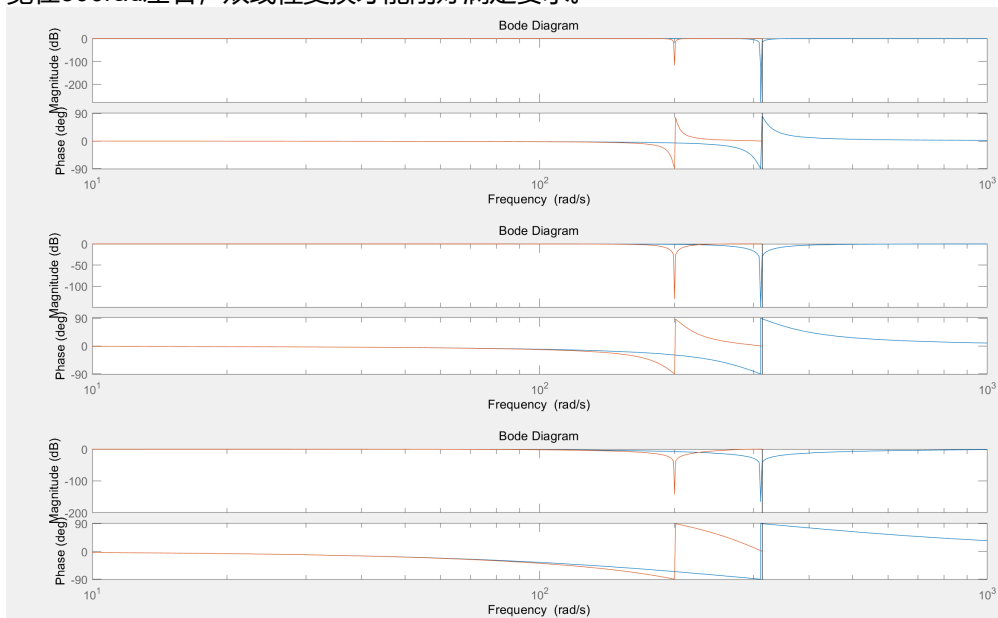
$$s = \frac{2}{T} \frac{1 - z^{-1}}{1 + z^{-1}}$$

- 17.



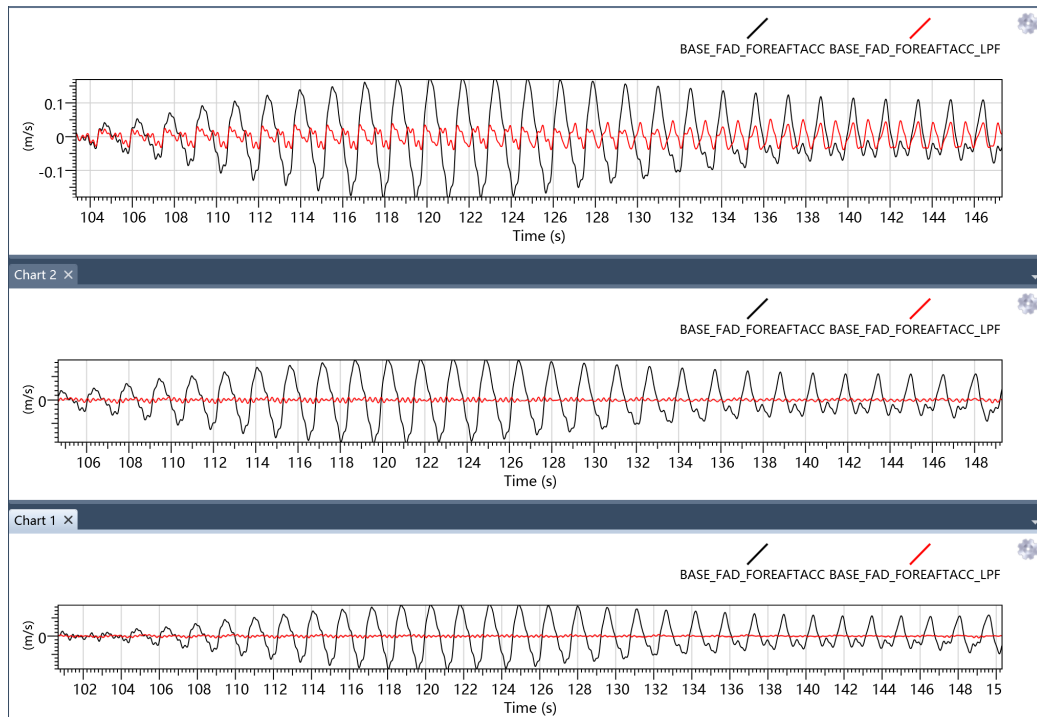
- 18.

19. 因为S到Z变换是一个非线性变换, 所以, S域的滤波器为了得到准确的滤波频率必须要做适当的预畸变, $\text{freq} = 2/\text{sampling_T} * \tan(\text{target_freq} * \text{sampling_T}/2)$, 这种情况下Z变换后的滤波器频率会正好落在目标频率上。以10ms采样的系统为例, 系统最大能设计的滤波器带宽为314rad, 在离散域设计一个200rad的带阻滤波器, 需要准备的连续域滤波器带宽在300rad左右, 双线性变换才能刚好满足要求。



- 20.

21. 最后, 作为在Dot X上的实例, 采用Damping系数 $R=1.0$, 过滤3p, 过滤3, 6, 9p, 过滤, 3, 6, 9, 12p之后的波形如下, 可以看到Dot X自带的滤波器工作非常正常。(关闭FADamping输出情况下)



22.

23. 无关项：对于输入 u 输出 y 表达的差分方程，可以表达为积分累加增益网络，其中对于输入 u 的部分，和输出 y 的部分，可以完全解耦， u 的闭环决定了 x 为状态量传递函数，多个复合 x 不同阶次的输入，可以用线性的方式，定义 u 的不同阶次导数累加实现。

20190503

- 修正对于Damping系数的看法，如同Bode图展示的，Damping系数还会带来频率点附近的相移，Damping系数取大了之后，相移区域会扩大，如果在这个附近存在扰动，则会引发控制器的震荡。
- 如下RotSpd的Pitch滤波器和Torque滤波器仅差了一个1P的滤波器，但是可以看到，Damping系数太大了以后，出现了一个1p附近的振荡，而且Torque滤波器的相位比Pitch滤波器延迟了大约60°，比原始信号延迟了30°

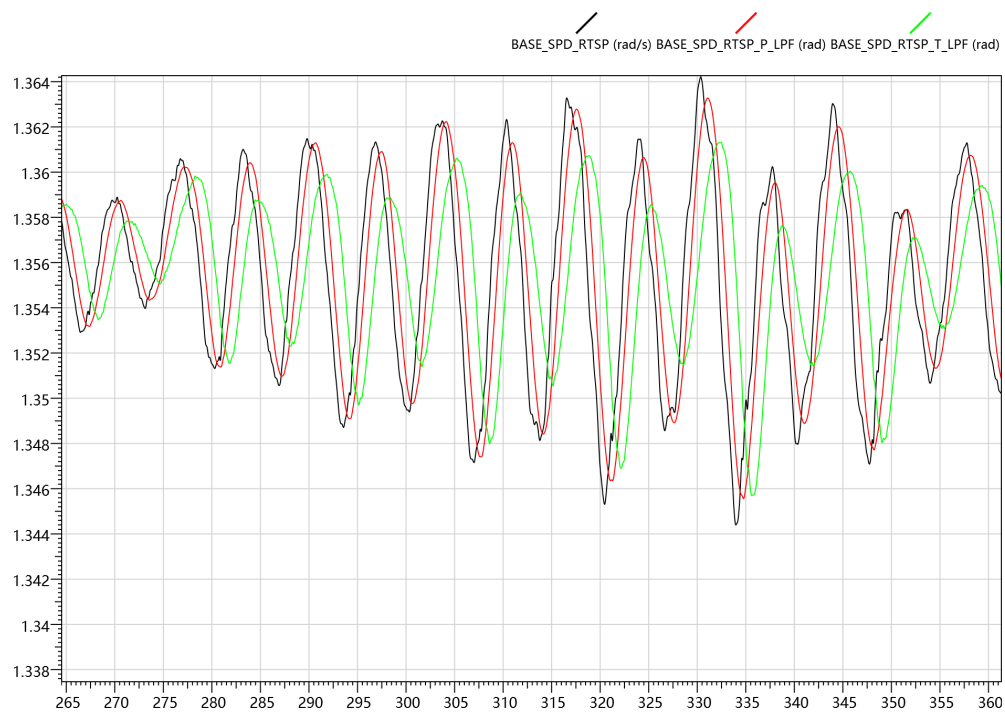
```

* Rotor Speed Controller
*
* Filters on rotor speed for pitch controller *
* D 1 - RotSp_Pit_NF1P : 1.0 [-] Notch at 1P, damping factor *
* D 1 - RotSp_Pit_NF3P : 0.1 [-] Notch at 3P, damping factor *
* D 1 - RotSp_Pit_NF6P : 0.05 [-] Notch at 6P, damping factor *
* D 1 - RotSp_Pit_NF9P : 0.08 [-] Notch at 9P, damping factor *
* D 2 - RotSp_Pit_NF1F : 1.0 10.3 *[-], [rad/s] Notch, damping factor & frequency *
* D 2 - RotSp_Pit_NF2F : 0.2 1.55 [-], [rad/s] notch filtering, damping factor & frequency Tower *
* D 2 - RotSp_Pit_NF3F : 1.0 3.7 *[-], [rad/s] , damping factor & frequency Collective Pitch Mode Notch *
* D 2 - RotSp_Pit_NF4F : 0.50 4.00 [-], [rad/s] Notch, damping factor & frequency *
* D 2 - RotSp_Pit_LP1F : 1.80 10.0 *[-], [rad/s] Low-Pass, damp (:= 2.0) & frequency *

* Filters on rotor speed for torque controller *
* D 1 - RotSp_Tor_NF1P : 1.0 [-] Notch at 1P, damping factor *
* D 1 - RotSp_Tor_NF3P : 0.1 [-] Notch at 3P, damping factor *
* D 1 - RotSp_Tor_NF6P : 1.0 [-] Notch at 6P, damping factor *
* D 1 - RotSp_Tor_NF9P : 1.0 [-] Notch at 9P, damping factor *
* D 2 - RotSp_Tor_NF1F : 1.0 10.3 *[-], [rad/s] Notch on tower 0.52Hz, damping factor & frequency *
* D 2 - RotSp_Tor_NF2F : 0.05 25.7359 [-], [rad/s] 4.1Hz notch filtering, damping factor & frequency *
* D 2 - RotSp_Tor_NF3F : 1.0 3.7 *[-], [rad/s] Notch, damping factor & frequency *
* D 2 - RotSp_Tor_NF4F : 0.50 4.00 [-], [rad/s] Notch, damping factor & frequency *
* D 2 - RotSp_Tor_LP1F : 1.80 40.23 *[-], [rad/s] Low-Pass, damp (:= 2.0) & frequency *

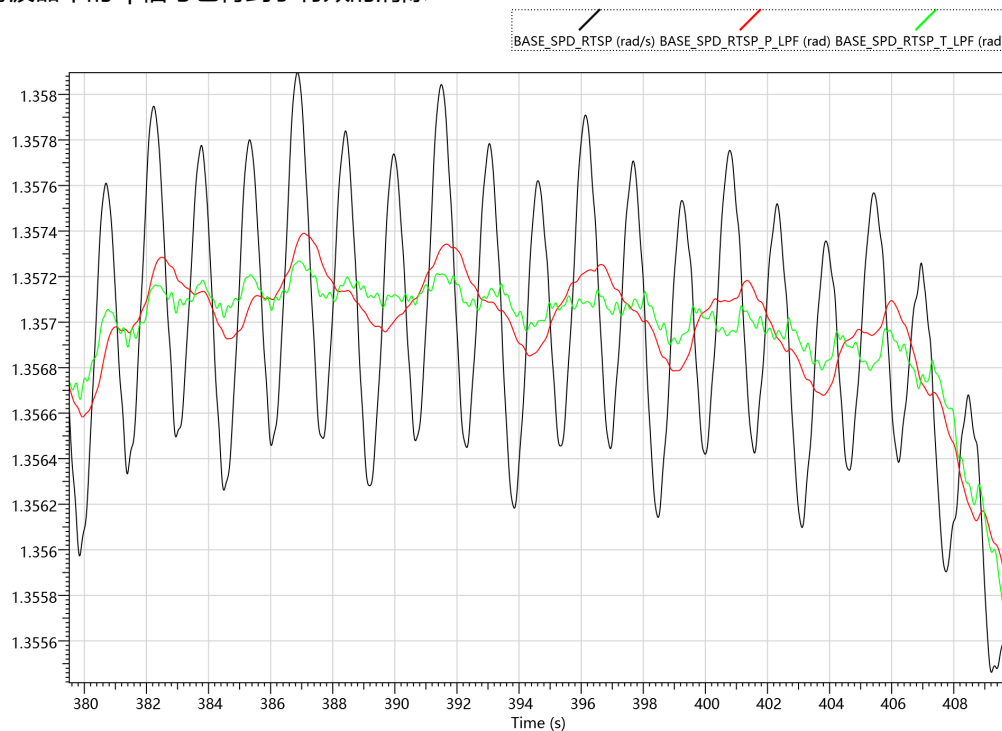
```

3.



4.

5. 经过修改Torque滤波器的NF1P的Damping系数为0.05后, 问题得到了解决, 下图中Torque滤波器中的1p信号也得到了有效的清除



6.

7. 结论: 所以Damping系数的选取, 应该与信号本身的特质相关, 如果信号比较干净, 也有比较大的惯性, 则取一个较低的Damping有助于后面的控制, 如果信号比较糟烂, 滤波器的Damping需要大一些, 但是后面的控制就很难做, 增益系数等都不敢放的太大。
8. 坎贝尔图的分析里, 有可能需要吧滤波器的特性放进去, 稳定工作区间的 $\pm 10\%$ 内不得有滤波器的相位反转区域

20190504

1. 在3米风速的2号Case中发现, 在切入转速之前, 风轮转速较低的时候, FA Damping的3p动态滤波可能会和塔筒频率 (0.52Hz) 接近, 滤波器的0.5Hz左右信号的输入输出相位出现巨大的反转, 导致了系统震荡, 切入转速之前需避免FA Damping工作。

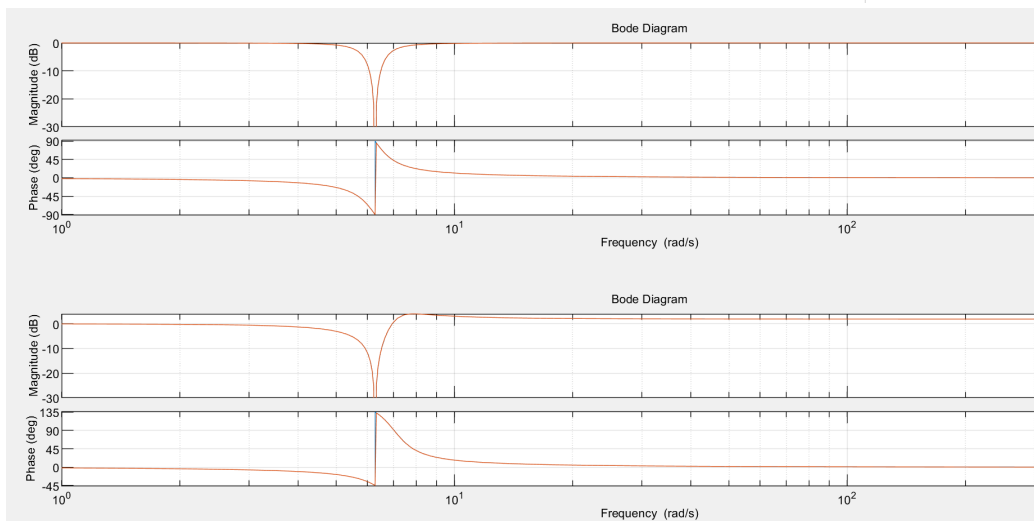
2. 在5.5米风速1号Case中，在切入转速上，Spd-Torque控制环路配合1p滤波器，仿真过程中现象发生了逐渐的控制失稳，因为仿真系统外部的1p扰动并不存在，所以，存粹是Spd-Torque控制回路自己的特定频率相位裕度不足造成的，关闭NF1P滤波器问题解决。

20190520

1. 在DotX中发现一个特殊的Notch滤波器，在常规Notch滤波器上增加了Fac系数，DotX中取值为0.8，通过Matlab仿真可以看出，中心频率的左侧相位裕度明显提升，由延迟90°改为延迟45°，右侧的相位超前增加45°，幅值也由0db变为最大4db。配合低通滤波器的滞后相移，这种Notch滤波器效果应该会比较，在调稳定苦难时，可以考虑测试这个滤波器。

```
% LOWPASS: filt_sys = tf([0 freq*damping*0 freq*freq*1], [1 freq*damping, freq*freq]);
% HIGHPASS: filt_sys = tf([1 freq*damping*0 freq*freq*0], [1 freq*damping, freq*freq]);
% NOTCH:    filt_sys = tf([1 freq*damping*0 freq*freq*1], [1 freq*damping, freq*freq]);
% NOTCH2:   filt_sys = tf([1 freq*damping*0 freq*freq*1], [0.8 freq*damping, freq*freq]);
% BANDPASS: filt_sys = tf([0 freq*damping*1 freq*freq*0], [1 freq*damping, freq*freq]);
```

2.



3.

4. 开始在Dot X中的Notch滤波器参数中，添加BandPass滤波器属性，为传动链DTD做准备

20190522

1. DotX中复用了Notch滤波器结构，补充了BandPass滤波器的功能，需要注意的是，DotX滤波器有串联滤波器的功能，对于BandPass带通滤波器，可能需要考虑并联结构，所以，后续需要花精力做出一个串并联滤波器结构属性和方法来统一操作。
2. 为了提升控制稳定性，在滤波器中补充Lag-Lead类型，放在串联滤波器结构之中，Lead-Lag滤波器如下：

$$lead - lag = \frac{(\tau_1 s + 1)(\tau_2 s + 1)}{(1 + \frac{\tau_1}{b} s)(1 + b\tau_2 s)}$$

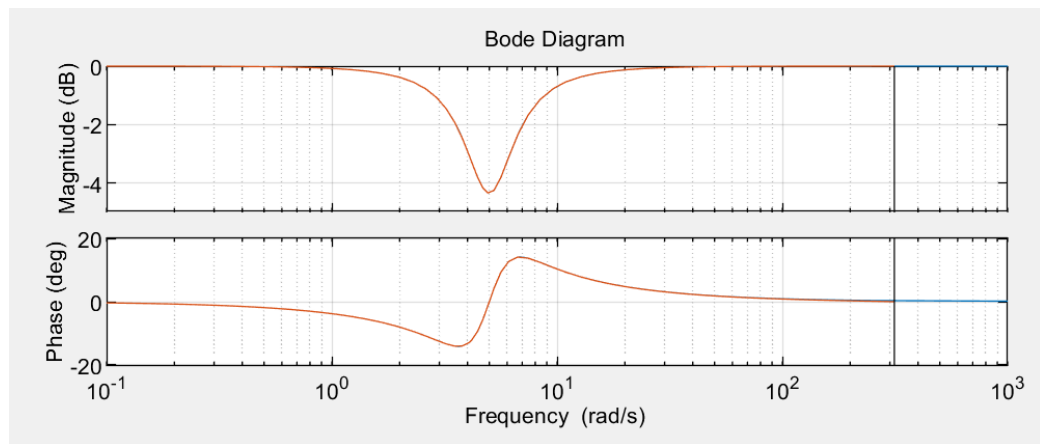
3.

4. 经过简化的后的LeadLag表达式如下，基本保持了和原系统滤波器的一致形态，其中，damping和之前其它滤波器一致，反映的是LeadLag的覆盖相位范围，Mag大于0时为LagLead，小于0时为LeadLag（控制上没有价值）

```
% LOWPASS: filt_sys = tf([0 freq*damping*0 freq*freq*1], [1 freq*damping, freq*freq]);
% HIGHPASS: filt_sys = tf([1 freq*damping*0 freq*freq*0], [1 freq*damping, freq*freq]);
% NOTCH:    filt_sys = tf([1 freq*damping*0 freq*freq*1], [1 freq*damping, freq*freq]);
% NOTCH2:   filt_sys = tf([1 freq*damping*0 freq*freq*1], [0.8 freq*damping, freq*freq]);
% BANDPASS: filt_sys = tf([0 freq*damping*1 freq*freq*0], [1 freq*damping, freq*freq]);
% LeadLag:  filt_sys = tf([1 damping*freq, freq*freq], [1 freq*exp(mag)*damping, freq*freq]);
```

5.

6. 选取freq=5，damping=0.5，Mag=0.5的伯德图如下：



7.

20190528

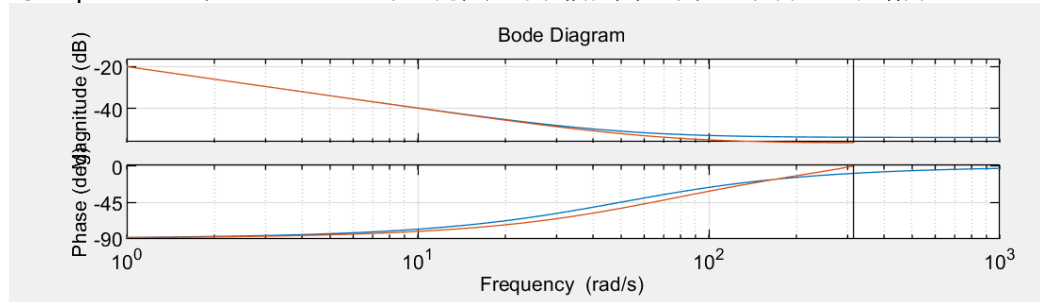
1. 新增PID控制的Z变换的Bode图分析，PID控制的S域和Z域在Matlab中的构成如下：

```
% PID:      fildt_sys = tf([Ti*Td, Ti, 1], [0, Ti, 0]);
% fildt0_sys = tf([Kp*Td, Kp, 1], [0, Ti, 0]);
% Ki=Kp*sampling_T/Ti;
% Kd=Kp*Td/sampling_T;
% z = tf('z',1);
% z.Ts = sampling_T;
% fildt0_z = ((Kp+Kd) + (-Kp+Ki-2*Kd)*z^-1 + Kd*z^-2)/(1-z^-1);
```

2.

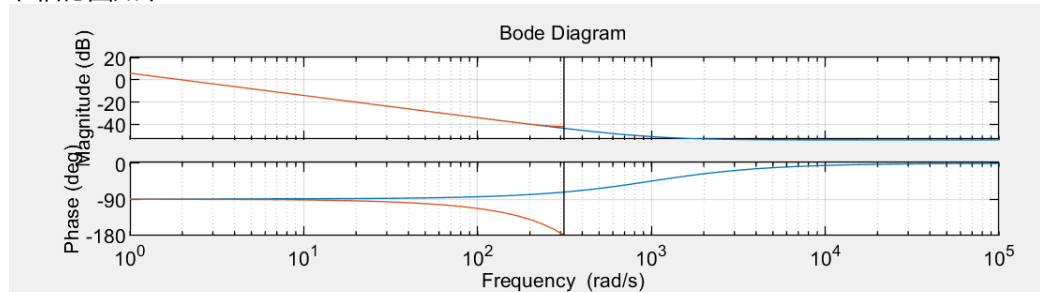
3. 对于一个典型的比例积分环节，当Ti大于sampling_T则S域和Z域之间的关系基本贴合

4. 对于kp = 0.002, Ti=0.02的一个比例积分环节伯德图如下，可以看到的确贴合



5.

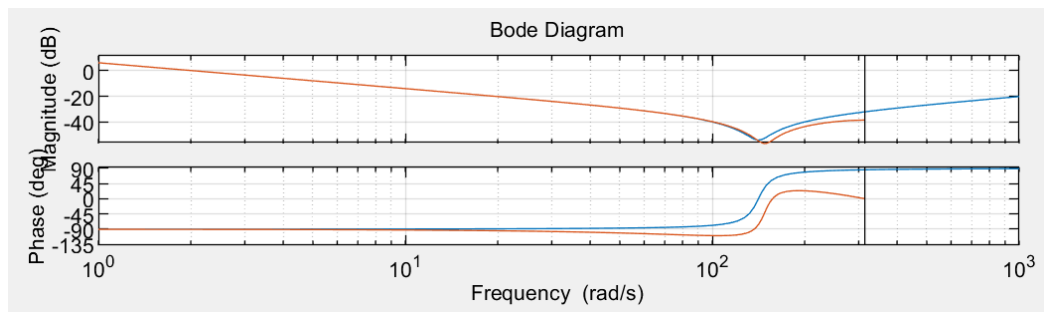
6. 但当Ti小于sampling_T，例如对于kp = 0.002, Ti=0.001, Td=0.0的一个接近纯积分环节伯德图如下：



7.

8. 可以看到模拟PID和数字PID的幅值差别不大，相位差别在30rad/s附近开始分叉，高频如果存在某些高增益，会增加产生谐振的可能性。

9. 对于kp = 0.002, Ti=0.001, Td=0.05的一个接近纯积分环节伯德图如下：



10.

11. 可以看到经过并联微分环节校正后，系统的幅值和相位裕度都得到了提升

12. 结论：如果需要使用离散PID， T_i 尽量大于采样时间，如果做不到，在考虑各种校正措施